

- [5] Рудько В. Н. // Тез. докл. XVII Всесоюзн. совещ. по физике взаимодействия заряженных частиц с кристаллами. М.: Изд-во МГУ, 1987. С. 53.
- [6] Рудько В. Н. // ЖЭТФ. 1985. Т. 89. Вып. 5. С. 1676–1684.
- [7] Rudko V. N. // Radiat. Eff. 1986. Vol. 88. N 3–4. P. 257–271.
- [8] Ахигезер А. И., Болдышев В. Ф., Шульга Н. Ф. // Физика элементар. частиц и атом. ядра. 1979. Т. 10. Вып. 1. С. 52–89.
- [9] Шульга Н. Ф., Трутень В. И., Фомин С. П. // Письма ЖТФ. 1980. Т. 6. Вып. 10. С. 1037–1040.
- [10] Ахигезер А. И., Шульга Н. Ф. // УФН. 1982. Т. 137. Вып. 4. С. 561–604.
- [11] Белошицкий В. В., Кумахов М. А. // ДАН СССР. 1980. Т. 251. № 2. С. 331–335.
- [12] Ведринский Р. В., Малышевский В. С. // ЖЭТФ. 1982. Т. 83. Вып. 3. С. 899–907.
- [13] Базылев В. А., Головинин В. В., Демура А. В. // ДАН СССР. 1985. Т. 283. № 4. С. 855–858.
- [14] Кумахов М. А., Комаров Ф. Ф. Излучение заряженных частиц в твердых телах. Минск, 1985. 384 с.
- [15] Базылев В. А., Жеваго Н. К. Излучение быстрых частиц в веществе и во внешних полях. М.: Наука, 1987. 272 с.

Институт ядерных исследований  
АН УССР  
Киев

Поступило в Редакцию  
11 мая 1988 г.

04; 09; 12

Журнал технической физики, т. 59, в. 8, 1989

## ЭКСПЕРИМЕНТАЛЬНОЕ ИССЛЕДОВАНИЕ ДИАГНОСТИЧЕСКОГО ГИРОТРОНА

Т. Б. Панкратова, Г. С. Нусинович

В последние годы усилился интерес к изучению возможностей применения гиротронов субмиллиметрового и коротковолновой части миллиметрового диапазонов для активной диагностики плазмы (см., например [1, 2]). В частности, гиротроны, способные работать

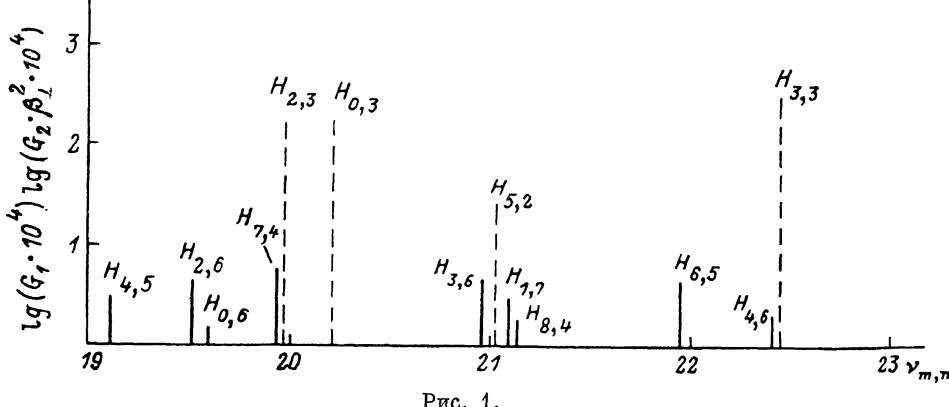


Рис. 1.

в режиме непрерывной генерации с уровнем мощности порядка и более 100 Вт при достаточно стабильных выходных параметрах излучения, представляют интерес для зондирования плазмы с целью изучения дрейфовых неустойчивостей и для многоканальной интерферометрии. Ниже описан разработанный для этой цели диагностический гиротрон, рассчитанный на генерацию излучения с длиной волны 1.2 мм в условиях циклотронного резонанса высокочастотного поля со второй гармоникой циклотронной частоты электронов.

Для того чтобы исследовать возможность получения генерации на второй гармонике циклотронной частоты  $\omega_H$  в гиротроне с развитым пространством взаимодействия, в качестве рабочей была выбрана мода  $H_{6,5}$  обычного цилиндрического резонатора с дифракционным выводом мощности. Радиус центров циклотронного вращения электронов тонкого трубчатого пучка  $R_0$  соответствовал внутреннему максимуму функции  $J_4^2(k_{\perp 6}, 5R_0)$ , описываю-

щей импеданс связи электронов с модой  $H_{6,5}$ , вращающейся по азимуту в том же направлении, что и электроны во внешнем магнитном поле ( $k_\perp$  — поперечное волновое число). Спектр критических частот  $\omega_m^{\text{кр}} p$  мод, соседних с  $H_{6,5}$ , показан на рис. 1, где собственные числа

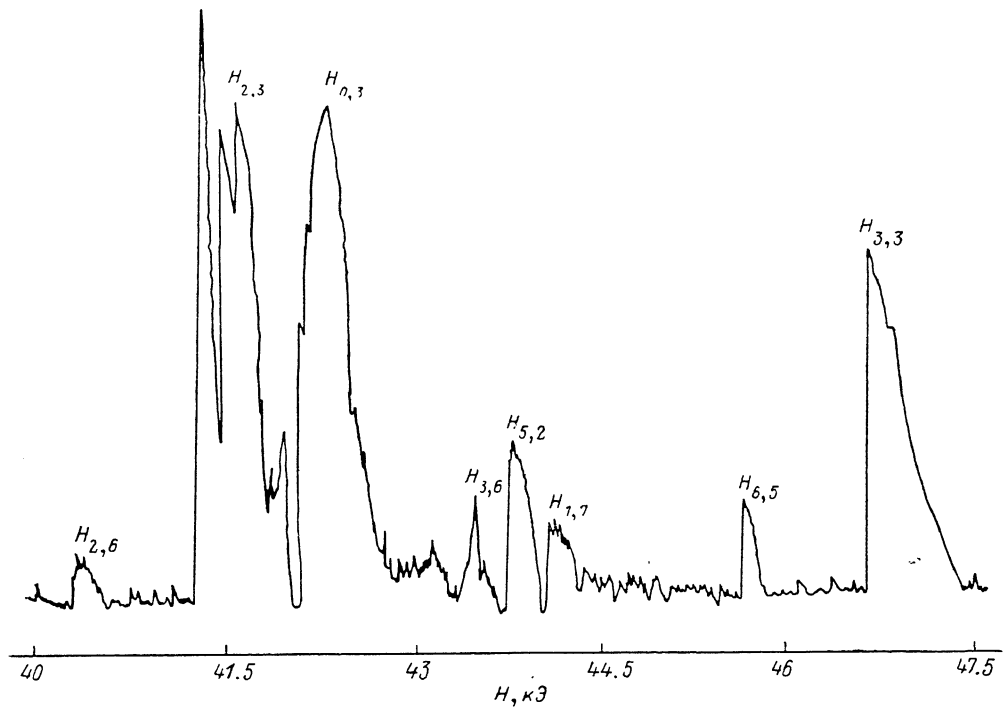


Рис. 2.

$\nu_{m,p} = \omega_{m,p}^{\text{кр}} R c$  ( $R$  — радиус резонатора) определяются граничным условием на стенке резонатора  $J'_m(\nu_{m,p})=0$ . Сплошными линиями показаны моды, резонансные со второй гармоникой  $\omega_H$ , штриховыми — моды, возбуждающиеся на основном циклотронном резонансе (их положение на рис. 1 соответствует  $2\nu_{m,p}$ ).

Амплитуды отрезков на рис. 1 характеризуют импедансы связи электронов с полями мод

$$G_{m,p} = \frac{J_{m\pm n}^2(k_{\perp m,p} R_0)}{(\nu_{m,p}^2 - m^2) J_m^2(\nu_{m,p})},$$

индекс 1 у величины  $G$  на рис. 1 соответствует основному циклотронному резонансу ( $n=\omega/\omega_H=1$ ), индекс 2 — модам, возбуждающимся на второй гармонике  $\omega_H$ . Ввиду того, что из-за различий в мультипольном характере взаимодействия электронов с высокочастотным полем в условиях резонанса с разными гармониками  $\omega_H$  стартовые токи мод обратно пропорциональны произведению  $G_n \beta_1^{2n}$  [3] ( $\beta_1 = v_\perp/c$  — отношение поперечной скорости электронов к скорости света), на рис. 1 для мод, резонансных с 2  $\omega_H$ , импедансы связи даны домноженными на  $\beta_1^2$ , что позволяет непосредственно по данным этого рисунка анализировать отношение стартовых токов конкурирующих мод. Величина  $\beta_1^2$  при построении рис. 1 принята равной 0.045, что соответствует описанным ниже условиям эксперимента.

Гиротрон был рассчитан на работу в режиме непрерывной генерации при раздельной подаче напряжения на анод и резонатор. Стабилизированное анодное напряжение (пульса-

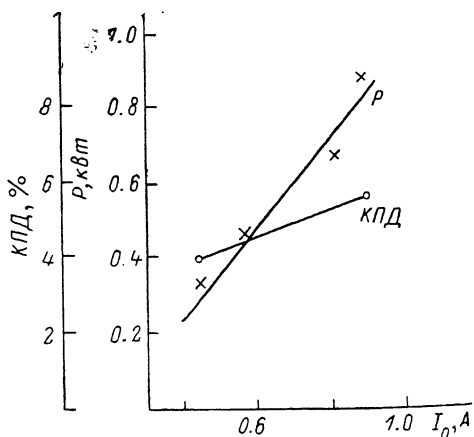


Рис. 3.

ции  $\sim 0.1\%$ ) не превышало 6, а резонаторное (пульсации  $\sim 4 \cdot 10^{-3}\%$ ) — 20 кВ. Ток пучка не превышал 1 А при пульсациях питания в цепи накала не более 15 %. Питание сверхпроводящего соленоида осуществлялось от источника, имеющего долговременную нестабильность 0.01 %. Диракционная добротность резонатора по оценкам составляла около  $5.6 \times 10^3$ , омическая —  $14 \cdot 10^3$ , что давало полную добротность около  $4 \cdot 10^3$ .

Результаты измерений зависимости выходной мощности гиротрона от величины внешнего магнитного поля представлены на рис. 2. Идентификация возбуждавшихся мод дана в соответствии с рис. 1. Мощность излучения паразитных мод, резонансных с основной гармоникой циклотронной частоты, составляла 5—6 кВт. График зависимостей выходной мощности и КПД рабочей моды  $H_{6,5}$  от тока пучка при анодном напряжении  $U_A = 5.3$  кВ и резонатор-

$H_{m,p}$	$\lambda_{изм, \text{мм}}$	$\lambda_{кр, \text{мм}}$
$H_{6,5}$	1.210	1.2105
$H_{2,6}$	1.358	1.359
$H_{3,3}$	2.334	2.339
$H_{5,2}$	2.515	2.523
$H_{6,3}$	2.600	2.610
$H_{2,3}$	2.652	2.662

ном напряжении  $U_P = 18$  кВ представлен на рис. 3. Относительно низкий выходной КПД (не более 5 %) объясняется тем, что при данных значениях напряжения и тока пучка генератор находился в «слабо надпороговом» режиме: как следует из рис. 3, ток пучка превышал стартовый в 3—4 раза, в то время как оптимальный по КПД ток, согласно [4], должен быть примерно на порядок больше.

При помощи резонансного волномера [5] были измерены длины волн излучения различных мод, которые оказались в хорошем соответствии с представленным на рис. 1 участком спектра критических частот. Рассчитанные по формуле  $\lambda_{кр} = 2\pi R/\nu_{m,p}$  критические длины волн и измеренные в эксперименте длины волн приведены в таблице. Были проведены измерения ширины линии излучения моды  $H_{6,5}$ . Она составила 200,  $\sim 300$  и  $\sim 400$  кГц на уровнях  $-3$ ,  $-10$  и  $-20$  дБ соответственно. Проведенный на основе развитой в [6] теории флукутаций колебаний в гиротроне анализ показал, что основной причиной относительно широкой (ср. [7]) линии излучения являются недостаточная стабильность цепи накала катода и источника анодного напряжения.

Таким образом, в результате проведенных исследований в гиротроне на частоте около 250 ГГц в режиме непрерывной генерации получена СВЧ мощность до 900 Вт при ширине линии излучения, позволяющей использовать этот гиротрон (по крайней мере при гомодинной схеме приема) в качестве источника зондирующего излучения в экспериментах по активной диагностике плазмы. Следует отметить, что в данном эксперименте была получена устойчивая генерация на высокой рабочей моде ( $H_{6,5}$ ) в условиях циклотронного резонанса со второй гармоникой  $\omega_H$ , что позволяет рассчитывать на освоение подобными гиротронами диапазона субмиллиметровых волн.

Авторы признателны В. В. Паршину и Б. В. Шишкуну за помощь в проведении измерений.

### Список литературы

- [1] Woskoboinikow P., Cohn D. R., Temkin R. J. // Intern. J. of Infrared and Millimeter Waves. 1983. Vol. 4. N 2. P. 205—231.
- [2] Лучинин А. Г., Нусинович Г. С., Флягин В. А., Шишкун Б. В. // Письма в ЖТФ. 1984. Т. 10. Вып. 16. С. 993—996.
- [3] Гапонов А. В., Петелин М. И., Юллатов В. К. // Изв. вузов. Радиофизика. 1967. Т. 10. № 9—10. С. 1414—1453.
- [4] Нусинович Г. С., Эрм Р. Э. // Электронная техника. Сер. 1. Электроника СВЧ. 1972. № 8. С. 55—60.
- [5] Дрягин Ю. А., Паршин В. В. // ПТЭ. 1982. № 8. С. 55—57.
- [6] Ергаков В. С., Шапошников А. А. // Изв. вузов. Радиофизика. 1977. Т. 20. № 8. С. 1209—1217.
- [7] Terumichi Y., Kubo S., Ando A. et al. // 9<sup>th</sup> Intern. Conf. on Infrared and Millimeter Waves. Takarazuka, Japan, 1984. P. 411—412.